

# BULANIK BİR GÜC SİSTEM KARARLILAŞTIRICI TASARIMI

Bildiri Konusu : A-Elektrik (Enerji Üretim, İletim ve Dağıtım)

Türker F. ÇAVUŞ

A.Serdar YILMAZ

Ertan YANIKOĞLU

Sakarya Üniversitesi Elektrik-Elektronik Müh. Bölümü  
e-posta : tfcavus@sakarya.edu.tr

## ABSTRACT-

In this paper, a new approach to design power system stabilizer (PSS), which is controller element, that improves the stability of the power systems against to low level frequency oscillations is investigated and analyzed by the use of fuzzy logic controls. The fundamental function of a PSS is to control the excitation system through adding supplementary stabilizing signals by which oscillations in the generator rotor can be damped. PSS can increase or decrease the excitation voltage according to the distortion exposed. In order to dampen, electrical torque component that is at the same phase as the rotor speed deviations must be produced.

Anahtar Sözcükler : Güç sistem kararlılaştırıcı, kümleci işaret kararlılığı, bulanık mantık denetleyici.

## 1. GİRİŞ

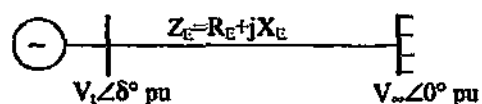
Enerji sistemlerinde meydana gelen düşük frekanslı ve genlikli salımlılar sistemin kümleci işaret (dinamik) kararlılığını etkilemektedir. Meydana gelen salımlılar发电机ların açısal hızında, yük açısından; güç ve moment dengesinde önemli sayılabilen sorunlara yol açmaktadır. Bu tür salımlıların azaltılmasında ve kümleci işaret kararlılığının iyileştirilmesinde kullanılan yöntemlerden biri发电机 uyarma sisteminin daha etkin ve hızlı bir şekilde kontrolüdür. Bunun için otomatik gerilim regülatörine ilaveten yardımcı kontrole gerek duyulur. Bu elemenin girişi açısal hız değişimleridir[5]. Bu kararlılaştırıcı eleman aldığı rotor sapımlarıyla aynı fazda olan elektriksel moment bileşenini üretmektedir. Bu bileşen açısal hızındaki sapmayı azaltarak kararlılığı iyileştirmede önemli bir rol oynamaktadır. Bu bildiride bilinen klasik kararlılaştırıcıdan daha etkili olan yeni bir kontrol elemanı önerilmektedir. Bu kontrol elemanı bulanık mantık esasına dayanmaktadır. Geliştirilen kural tablosu söz konusu bozucular sonrasında oluşan değişimleri sönütmeye oldukça etkili olmaktadır. Yapılan benzetimlerde geliştirilen bulanık kararlılaştırıcının daha etkili ve süratli bir sönmme yol açtığı görülmüştür.

## 2. KÜÇÜK İŞARET ANALİZİ VE GÜC SİSTEM MODELİ

Enternomekte şebekede generatorler, rotorlarındaki açısal yer değiştirmeye bağlı olarak moment üretirler. Bu momentler generatorları senkronizmada tutarlar. Bu yüzden bu momentlere senkronlayıcı moment adı verilebilir. Dilşük frekanslı salımlıların yaşadığı şebekede söz konusu senkronlayıcı momentin yetersiz kalması sonucu bir süre sonra senkronizma kayipları ve devre dışı kalma olayları gerçekleşir.

Eğer sistemin manz kaldırığı bozucu etki büyük şiddetti ise, senkronlayıcı moment, generator açısından sapmayı sürekli halde kararlı bir noktaya getiremez. Bundan dolayı şebekedeki generatorların hepsi yada bir kısmı senkronizma kaybına uğrar. Bu durumda sistem için geçici halde kararsız denilebilir. Eğer bozucu etki kümleci şiddetti ise, senkronlayıcı moment senkronizasyonu korur fakat açısal salımlıları tamamen önyelemez. Özellikle ağır yüklü sistemlerde bu salımlıların genliği üstel olarak artar. Bu durumda karşı karşıya kalmış sorunun adı kümleci işaret kararsızlığıdır. Bu salımlıların önlenmesi amacıyla yardımcı kararlılaştırıcı işaretler ile uyarma sisteminin kontrol edilmesi gereklidir [1,2].

Bu bildiride Şekil.1'deki tek makinalı sistem üzerinde inceleme ve bulanık GSK uygulaması yapılmaktadır.



Şekil.1 Tek makinalı sonsuz güç baralı sistem

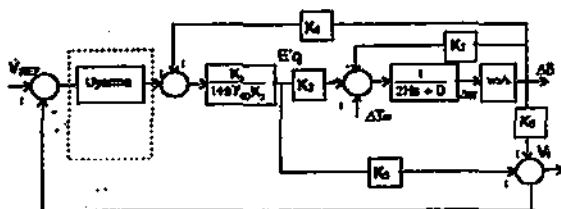
Kümleci işaret analizlerinde generator ve ona bağlı elemanlarının lineerleştirilmiş durum modeli kullanılır. Uyarma, ve güç sistem kararlılaştırıcıları ile birlikte tüm sistemin durum değişkenleri vektörel şeilde verilebilir.

$$\dot{\mathbf{X}} = \mathbf{AX} + \mathbf{BU} \quad (1)$$

Burada X vektörünü oluşturan değişkenler

$X^T = [AE^*, \Delta\delta, \Delta w, \Delta Efd]$  ve  $U = [Vref]^T$  dir [3]. Bu model, GSK elemanının olmadığı duruma aittir.

Buna göre şekil.1'deki sistemin lineer modeli aşağıdaki şekilde olmaktadır [4].



Şekil.2 Örnek sistemin modeli

EK-1 de çalışma noktasındaki sayısal değerleri verilen yukarıdaki sistem için GSK yok iken A matrisi ve özdeğerleri aşağıdaki şekildeki gibidir.

$$A = \begin{bmatrix} -\frac{1}{K_3 T_{d0}} & \frac{-K_4}{T_{d0}} & 0 & \frac{1}{T_{d0}} \\ 0 & 0 & ws & 0 \\ \frac{-K_2}{2H} & \frac{-K_1}{2H} & \frac{-D(ws)}{2H} & 0 \\ \frac{-K_A K_6}{T_A} & \frac{-K_A K_5}{T_A} & 0 & \frac{-1}{T_A} \end{bmatrix}$$

Bu matris EK-1 deki örnek sistem için

$$A = \begin{bmatrix} -0.3511 & -0.236 & 0 & 0.104 \\ 0 & 0 & 314 & 0 \\ -0.1678 & -0.144 & 0 & 0 \\ -714.4 & -10 & 0 & -5 \end{bmatrix}$$

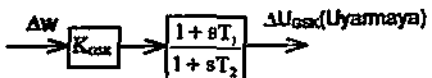
olur. Bu matrisin özdeğerleri ise  $\lambda_{1,2}=-2.633 \pm j8.46$  ve  $\lambda_{3,4}=-0.0428 \pm j6.5048$  dir. Görüldüğü gibi bu durumda sistem salımları olmaktadır. B vektöründe aşağıdaki gibidir.

$$B = [0 \ 0 \ 0 \ K_A/T_A]^T = [0 \ 0 \ 0 \ 2000]^T$$

### 3. GÜC SİSTEM KARARLILASTIRICILARI (GSK) İLE UYARTIM DENETİMİ

GSK uyarma denetiminde önemli bir işlevi üstlenen, türbin-generator sisteminde oluşan düşük frekanslı elektromekanik salımları önleyen yardımcı bir denetleyici elemandır. Rotor ağısal hız sapmasını alan işaret GSK'nın girişini oluşturur. Rotor sapmalıyla aynı fazda olan elektriksel moment bileşeni üretilir

Şekil.3 te tek girişli GSK nn blok diyagramı verilmektedir.



Şekil.3 Klasik GSK Blok Diyagramı

Şekil.3'de basitleştirilmiş blok diyagramı verilen GSK elemanın genel hali için transfer fonksiyonu aşağıdaki gibidir.

$$G_{GSK}(s) = K_{GSK} \frac{1+sT_1}{1+sT_2} \frac{ST_w}{1+sT_w} \quad (2)$$

Burada  $T_1$  ve  $T_2$  sırasıyla faz ilerişici ve gerileşici zaman sabitidir.  $T_1$  sabiti 0.2 ile 1.5 saniye,  $T_2$  sabiti ise 0.02 ile 0.15 saniye arasında değerler alır.  $K_{GSK}$  kazancı ise 0.1 ile 50 arasında oldukça geniş bir tamam bölgesinde sahiptir [3].

$T_w$  ise kararlayıcı işaret filtresi zaman sabiti olarak adlandırılır. Genelde 10 olarak tespit edilir. Kararlayıcı işaret滤resinin amacı, hız sapmalarından dolayı gerilim referansında olacak sürekli hal hatasını azaltmaktadır. Söz konusu frekans aralığında salımlar için herhangi bir faz kayması yada kazancına yol açmadığından  $T_w$  nın çok büyük seçilmesi halinde bu filtre devresini transfer fonksiyonu yaklaşık 1'e eşit kabul edilir. Bu çalışmada kararlayıcı işaret滤resi transfer fonksiyonu 1 olarak alınmıştır [3].

Bölüm 2'de tanıtan örnek güç sisteminde GSK olmas halinde durum değişkenleri matrisinin boyutu artacaktır. GSK çıkışı da ( $U_{GSK}$ ) durum değişkeni olacağında matrisin boyutu 5x5 olacaktır. Buna göre yeni A matrisi aşağıdaki şekli alır.

$$A' = \begin{bmatrix} -1 & \frac{-K_4}{T_{d0}} & 0 & \frac{1}{T_{d0}} & 0 \\ \frac{-K_3 T_{d0}}{2H} & 0 & 314 & 0 & 0 \\ \frac{-K_2}{2H} & \frac{-K_1}{2H} & 0 & 0 & 0 \\ \frac{-K_A K_6}{T_A} & \frac{-K_A K_5}{T_A} & 0 & \frac{-1}{T_A} & \frac{K_A}{T_A} \\ \frac{-K_2 T_1}{T_2} (\frac{K_{GSK}}{2H}) & \frac{-K_1 T_1}{T_2} (\frac{K_{GSK}}{2H}) & \frac{K_{GSK}}{T_2} & 0 & \frac{-1}{T_2} \end{bmatrix}$$

EK-1'de GSK ya ait parametreler verilmiştir. Bu parametreler için örnek sisteme klasik GSK uygulandığında yeni A' matrisi ve buna ait özdeğerler şu şekilde verilebilir.

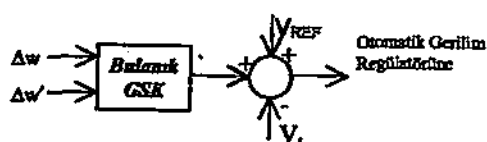
$$A' = \begin{bmatrix} -0.351 & -0.236 & 0 & 0.104 & 0 \\ 0 & 0 & 314 & 0 & 0 \\ -0.167 & -0.144 & 0 & 0 & 0 \\ -714.4 & -10 & 0 & -5 & 2000 \\ -0.42 & -0.36 & 5 & 0 & -10 \end{bmatrix}$$

Bu matrisin özdeğerleri  $\lambda_{1,2}=-0.612 \pm j6.409$ ,  $\lambda_{3,4}=-1.869 \pm j8.58$  ve  $\lambda_5=-10.38$  olarak hesaplanmıştır.

Bu iki durumun karşılaştırılması sonucunda klasik GSKlı sistemde kararlılığının GSKsiz sisteme oranla iyileştiği sonucuna varılmıştır. Bölüm 5'de tasarılan bulanık GSK ile beraber bu iki duruma ait benzetim sonuçları verilecektir.

#### 4. BULANIK KURALLAR İLE YARDIMCI KARARLILAŞTIRICININ TASARIMI

Şekil 4'de bulanık kararlılaştırıcıının blok diyagramı yer almaktadır.



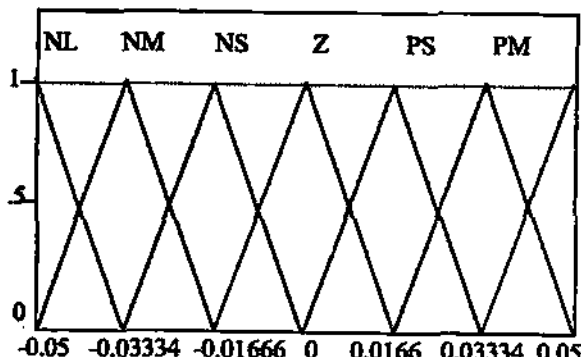
Şekil.4 Bulanık Kararlılaştırıcı:

Çalışmamın bu kısmında bulanık mantık kuralları esasına göre yeni bir GSK elemanı oluşturulması gerçekleştirilmiştir. Kurulan bulanık tabanlı GSK elemanına ait kural tablosu, giriş ve çıkışa ait üyelik fonksiyonları sırasıyla tablo 1, şekil 4, 5 ve 6'da gösterilmektedir.

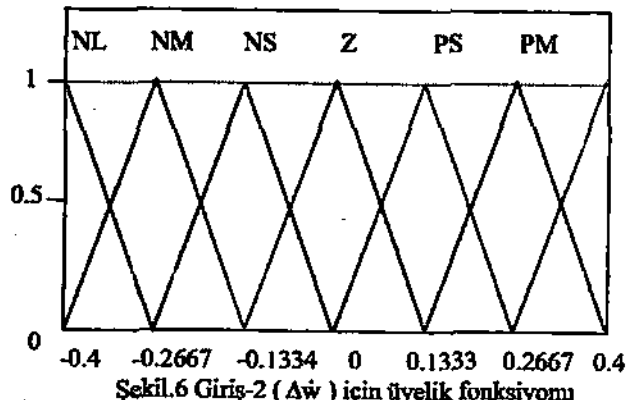
Giriş 1 ( $\Delta w$ )

	NL	NM	NS	Z	PS	PM	PL	
Giriş 2 ( $\Delta w'$ )	NL	NL	NL	NL	NM	NM	NS	Z
	NM	NL	NL	NM	NM	NS	Z	PS
	NS	NL	NM	NS	NS	Z	PS	PM
	Z	NM	NM	NS	Z	PS	PM	PM
	PS	NM	NS	Z	PS	PS	PM	PL
	PM	NS	Z	PS	PM	PM	PL	PL
	PL	Z	PS	PM	PM	PL	PL	PL

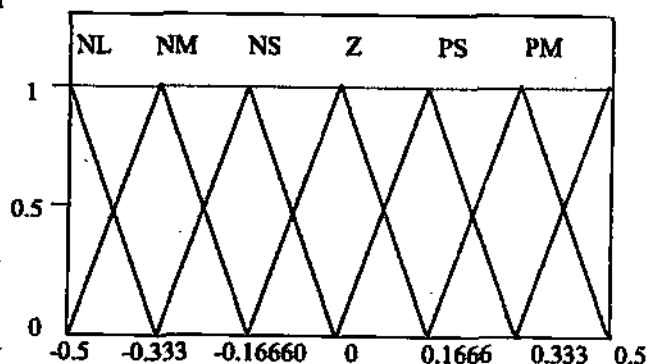
Tablo.1 Kural Tablosu



Şekil.5 Giriş-1 ( $\Delta w$ ) için üyelik fonksiyonu



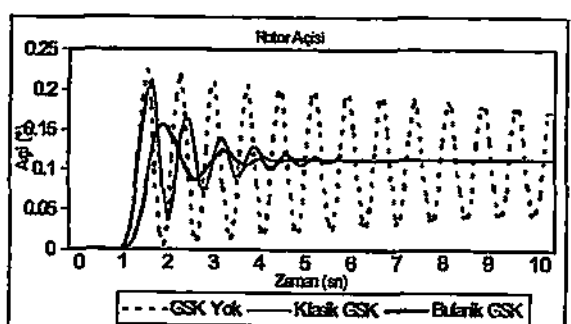
Şekil.6 Giriş-2 ( $\Delta w$ ) için üyelik fonksiyonu



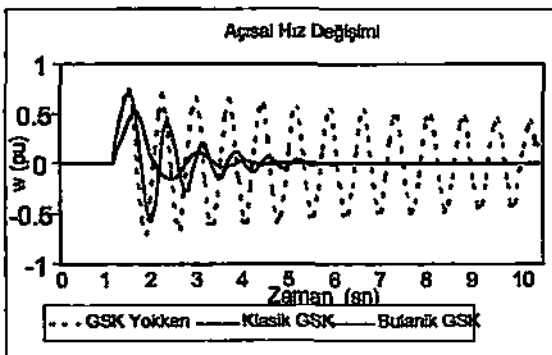
Şekil.7 Çıkış ( $U_{GSK}$ ) için üyelik fonksiyonu

Buna göre tasarlanan yeni GSK elemanı düşük frekanslı salımları klasik olan türdenin göre daha iyi sonuç verdiği, bu salımları daha kısa sürede ve daha etkili biçimde sönmüşlediği görülmüştür. Bölüm 5'te üç durum için (GSKsiz, Klasik GSKlı ve Bulanık GSKlı) benzetim sonuçları yer almaktadır.

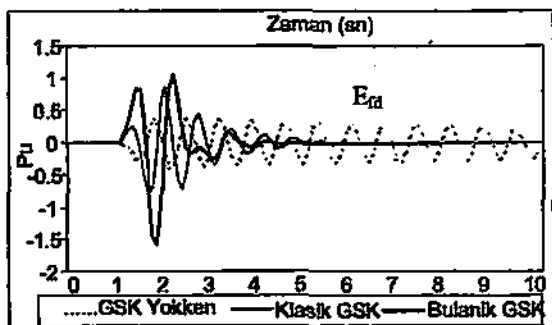
#### 5. BENZETİMLER



Şekil.8 Rotor açısı değişimi



Şekil.9. Açısal Hız değişimi (pu)



Şekil.10 Uyarma Gerilimi değişimi (pu)

## 6. SONUÇLAR

Bölüm 4'deki kural tablosu ile kurulan bulanık GSK ile klasik GSK arasındaki karşılamalar bölüm 5 de görülmektedir. Küçük işaret analizi sınırları dahilinde lineer modeller üzerinde yapılan bu incelemeye açısal hız, rotor hızı ve uyarma gerilimi salınumları için daha hızlı ve etkin bir GSK tasarımını gerçekleştirmiştir. Geliştirilen bulanık GSK ile yapılan benzetimlerde  $P_M$  mekanik giriş gücüne uygulanan 0.1 birimlik basamak girişi (Nominal gücün %10'una karşı gelen) sonucunda genlik ve frekans yönüyle oluşan salınum diğerlerine nazaran daha azdır. Sönüme daha hızlı gidilmektir. Benzetim sonucunda GSK ların sürekli halde sisteme herhangi bir etkide bulunmadığı sadece hız değişimlerinde görevini yerine getirdiğini söylemek mümkündür.

## KAYNAKLAR

- [1] Rogers, G., Demystifying power system oscillations, IEEE Computer application in power, Vol.9, No.3, pp.30-35, 1996.
- [2] Yu, Y., Electric Power System Dynamics, Academic Press, 1983.
- [3] Sauer, P.W. and Pai M.A., Power system dynamics and Stability, Prentice Hall, 1998.
- [4] de Mello F., and Concordia, C., Concepts of synchronous machine stability as affected by excitation control, IEEE Trans. on PAS, Vol.88, pp.316-329, 1969.
- [5] Sayane-Pasami, M., Malik, O.P., A Fuzzy Logic Based PSS Using a Standardized Rule Table, Electric Machines and Power Systems, 27:295-310, 1999

## EK-1

$K_1=0.92$	$X_d=2.5 \text{ pu}$	$T_{dc}=9.6 \text{ sn}$
$K_2=1.074$	$X_d=0.39 \text{ pu}$	$K_A=400$
$K_3=0.292$	$D=0$	$T_A=0.2 \text{ sn}$
$K_4=2.265$	$\omega_s = 314$	$K_{pos}=0.5$
$K_5=0.005$	$R_e=0 \text{ pu}$	$T_i=0.5 \text{ s}$
$K_6=0.357$	$X_e=0.5 \text{ pu}$	$T_r=0.1 \text{ s}$
$R_a=0 \text{ pu}$	$V_m=1.05^{<0} \text{ pu}$	
$X_q=2.1 \text{ pu}$		$H=3.2 \text{ sn}$